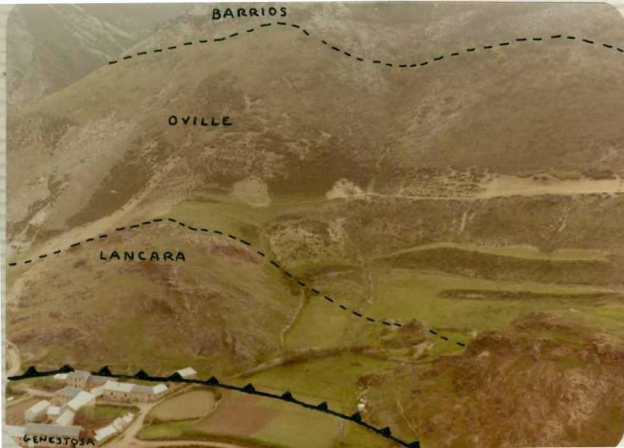




GA-333

Formación Láncara al SO.
de Ricabo.



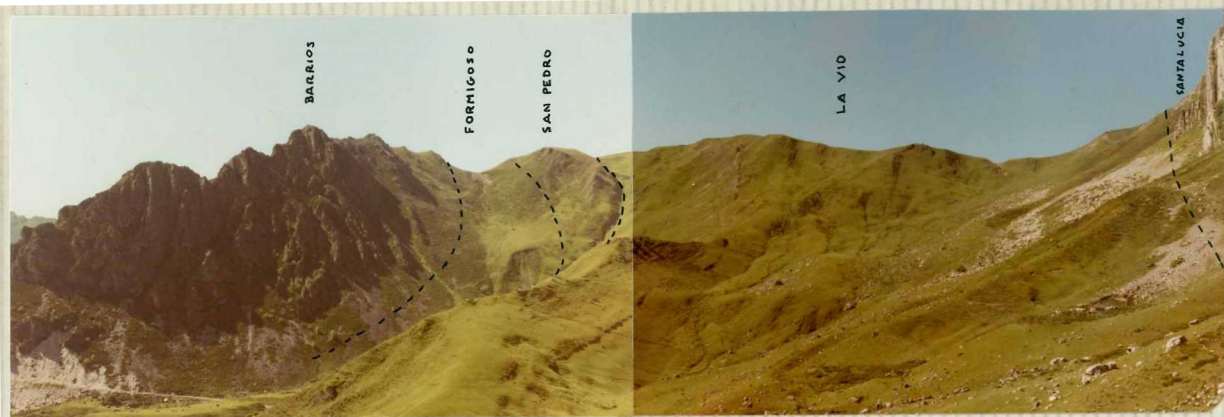
GA-334

Formación Oville en la localidad de Genestosa.



GA-335

Formación Barrios al O.
de Ricabo.



GA-336

Vista panorámica de las Formaciones Barrios, Formigoso, San Pedro
y del Grupo La Vid en la carretera a los puertos de La Cubilla.



GA-337

Vista panorámica del Grupo La Vid y la Formación Santa Lucía en el Cordal de la Mesa desde el Valle de Saliencia.

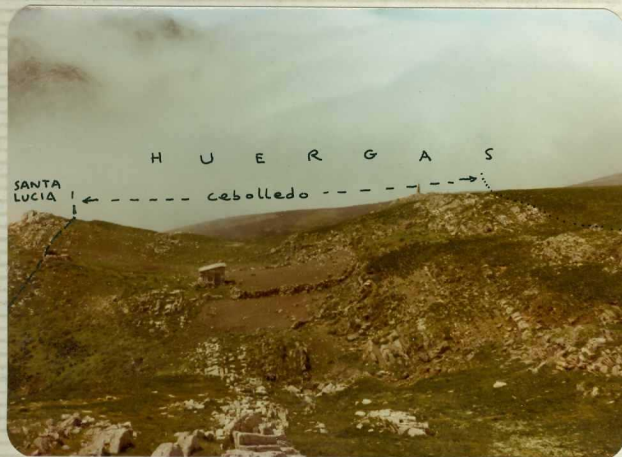


GA-338

Formación Santa Lucía en
la carretera a los puer-
tos de La Cubilla.

GA-339

Miembro Cebolledo en
su localidad tipo.



GA-340

Formaciones Huergas y
Portilla en el flanco
E. del Sinclinal de
La Cueta.





GA-341

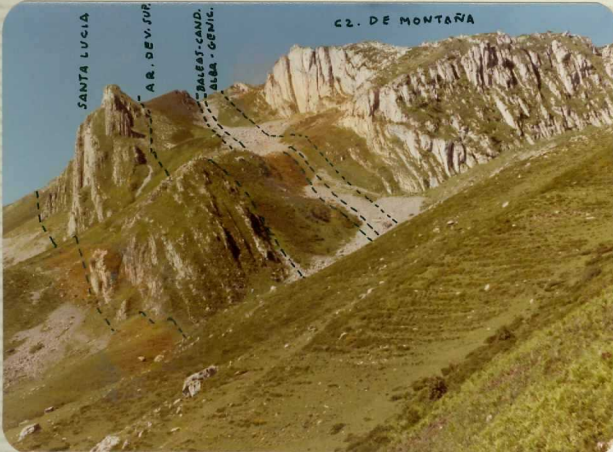
Areniscas del Devónico y Formación Alba-Genicera en la zona de los Riondos (Sinclinal de Somiedo).

SANTA LUCIA

AR. DE V. SUP.

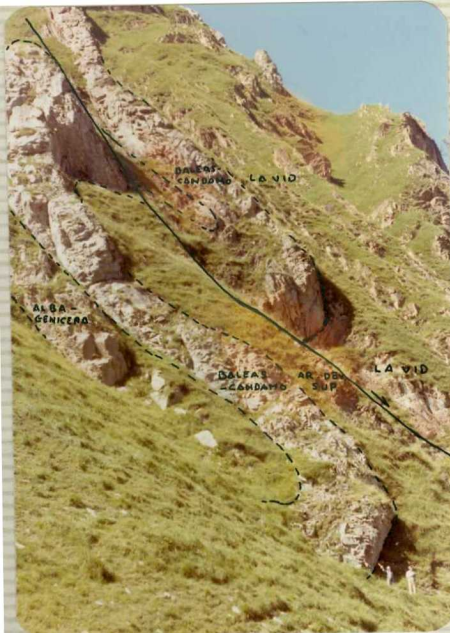
BALEAS-CAND.
ALBA - GENIC.

C2. DE MONTAÑA



GA-342

Areniscas del Devónico superior y Formaciones Baleas-Candamo y Alba-Genicera en la carretera a los puertos de La Cubilla.



GA-343

Formaciones Baleas-
Candámo y Alba-Genice-
ra en el camino de
Tuiza de Arriba al
circo del Meicin.

GA-344

Caliza de Montaña con
explotaciones de Hierro
en el lago de La Cueva
(Sinclinal de Somiedo).





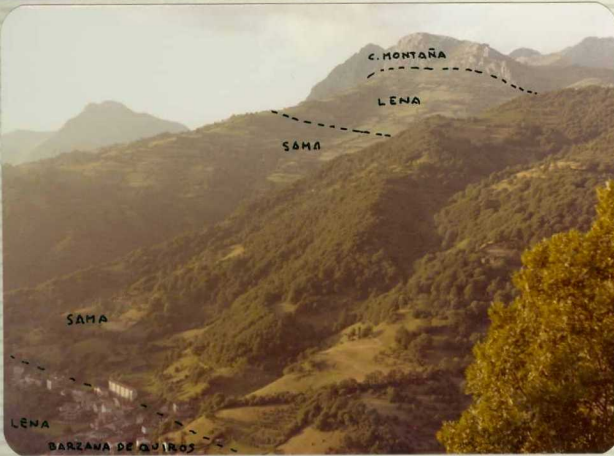
GA-345

Caliza de Montaña del
Macizo de Ubiña desde
Torrebarrio.

GA-346

Aspecto de la Formación
San Emiliano desde el
alto de Puerto Ventana
hacia el Sur.





GA-347

Formaciones Lena y Sama en la localidad de Barzana de Quirós.

GA-348

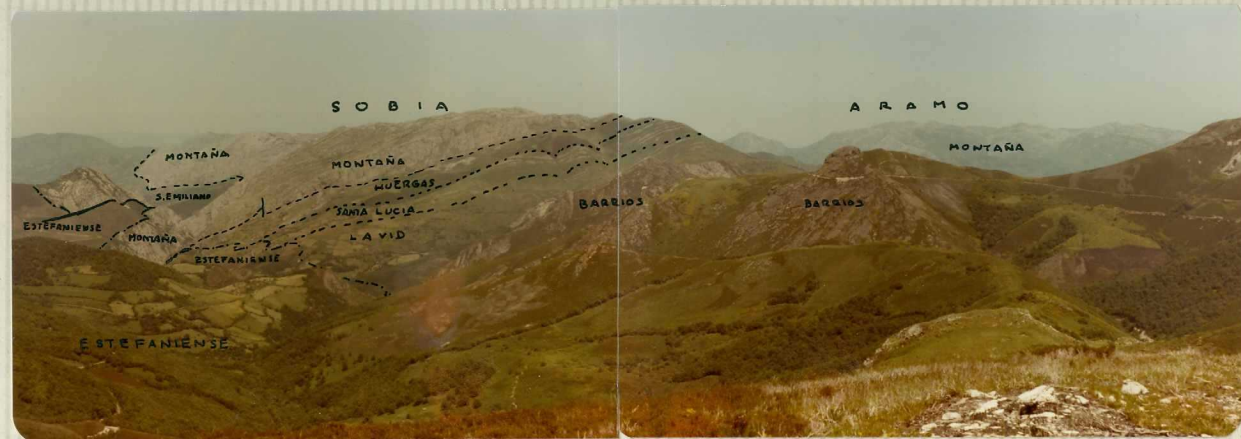
Vista panorámica de los terrenos devónicos y carboníferos en la terminación meridional de la unidad de la Sobia (Villar de Sub).





GA-349

Detalle de los conglomerados estefanienses en los
alrededores de Páramo.



GA-350

Vista panorámica desde el Puerto Ventana abarcando las sucesiones paleozoicas de la mitad norte de la hoja.



GA-351

Cabalgamiento desarrollado en el interior de la Formación Santa Lucía al Sur del Sinclinal de Somiedo.



GA-352

Cuña tectónica en el interior de la Formación Santa Lucía en el corte de Engrija.

GA-353

Desplazamiento por falla de la Formación Santa Lucía y del Miembro Cebolledo en el camino de La Cueta a Torre de Babia.



GA-354

Repliegues en la Formación Santa Lucía de la Collá de la Fuente Corisco en la parte sur del Sinclinal de Somiedo.



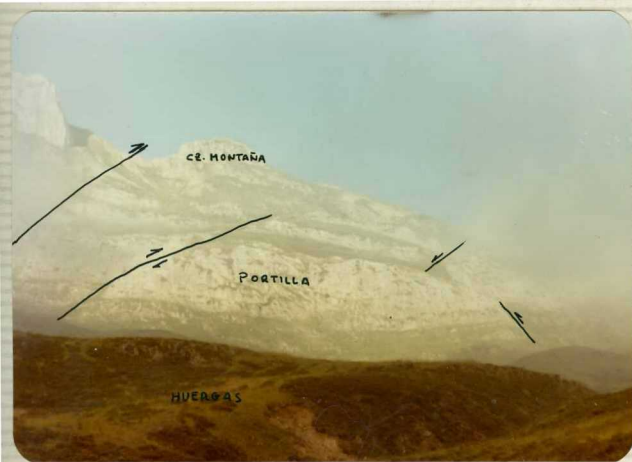
GA-355

Terminación meridional
del Sinclinal de La Cue-
ta.



GA-356

Fallas en la Formación
Portilla al E. de To-
rrestio (Sinclinal de
Somiedo).



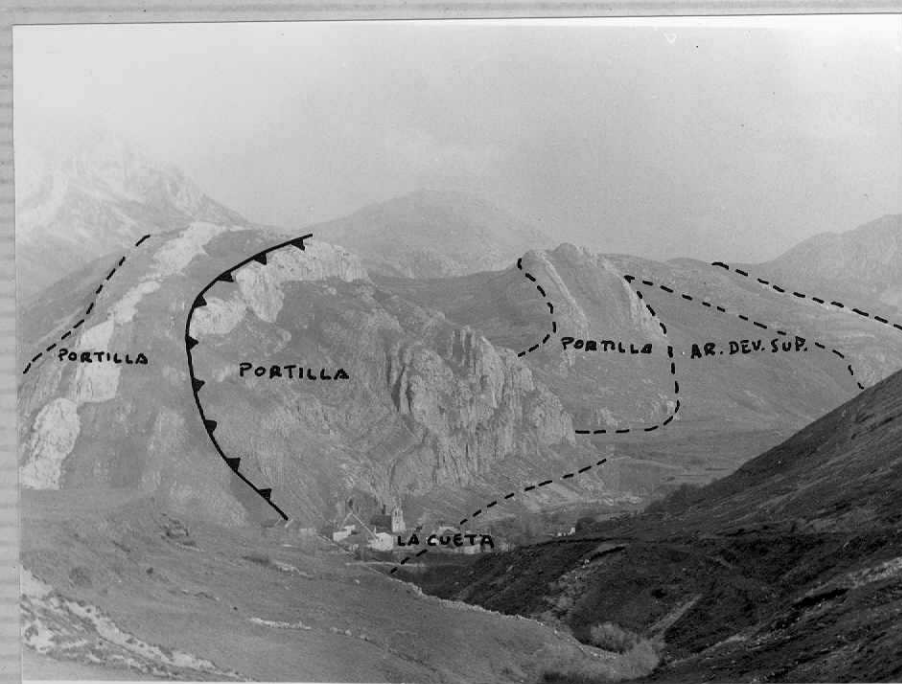
GA-357

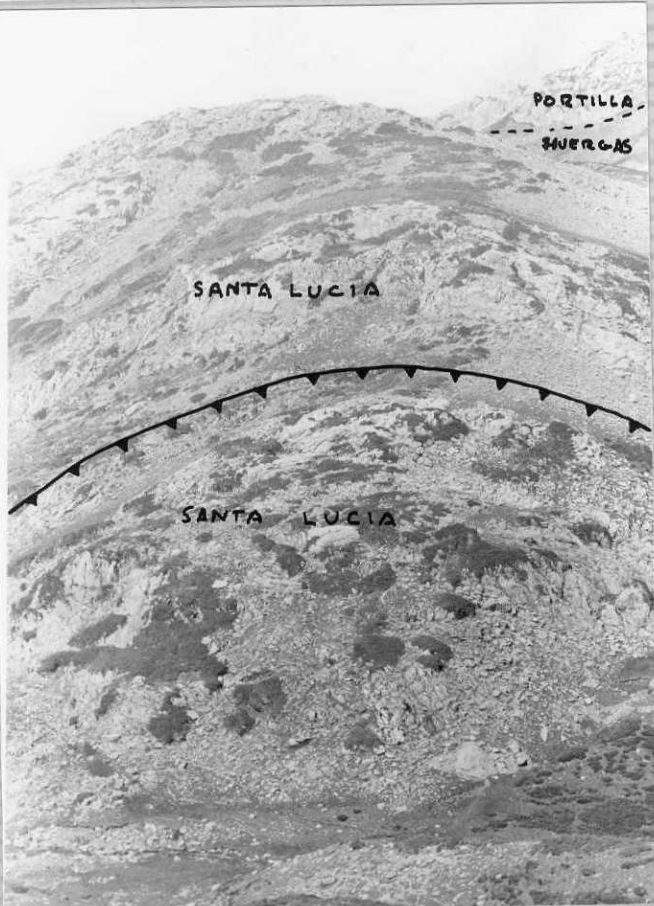
Cabalgamiento de la
Formación Láncara so-
bre la Formación San
Emiliano, en la ver-
tiente leonesa de Puer-
to Ventana.



GA-358

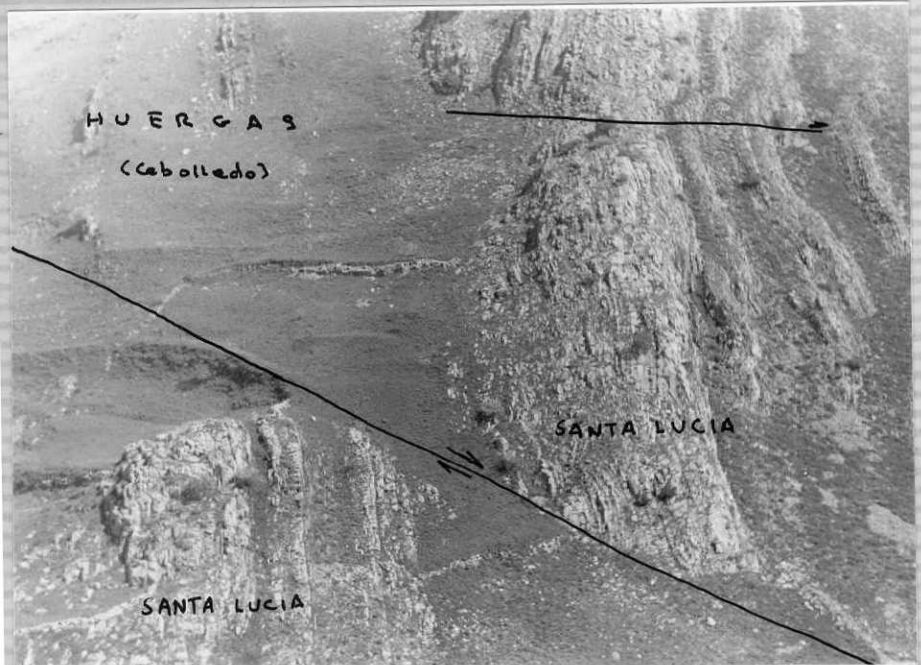
Cabalgamiento en el interior de la Formación Portilla en el flanco E. del Sinclinal de La Cueta.





GA-359

Cabalgamiento en el interior de la Formación Santa Lucía en la parte meridional del Sinclinal de Somiedo.



GA-360

Falla en el Miembro superior de la Formación Santa Lucía en el camino de La Cueta a Torre de Babia.

GA-361

Repliegues de la Formación Santa Lucía en el camino de La Cueta a Torre de Babia.



GA-362

Pliegues en la Formación Santa Lucía en la parte meridional del Sinclinal de Somiedo.





GA-363

Pliegues en el Devó-nico desde la carretera a los puertos de La Cubilla hacia el Norte.

GA-364

Pliques menores en las
dolomias del Grupo La
Vid, en el camino de
Villamarcel a Fresnedo.



GA-365

Pliques menores en el
techo del Miembro superior
de la Formación Santa
Lucía en el camino de
La Cueta a Torre de Ba-
bia.





GA-366

Detalle de la charnela
anticlinal en el techo
de la Formación Santa
Lucía en el camino de
Villamarcel a Fresnedo.



GA-367

Vista panorámica de las Formaciones devónicas al NE. del Sinclinal de La Cueta.

GA-368

Vista de la Caliza de
Montaña en los contra-
fuertes de la vertiente
N. de los picos del
Huerto del Diablo.





GA-369

Vista panorámica del Devónico y Carbonífero al N. de Tuiza de
Abajo desde la carretera a los puertos de La Cubilla.

GA-370

Lumaquela en las calizas de La Vida en el camino de Villamarcel a Fresnedo.



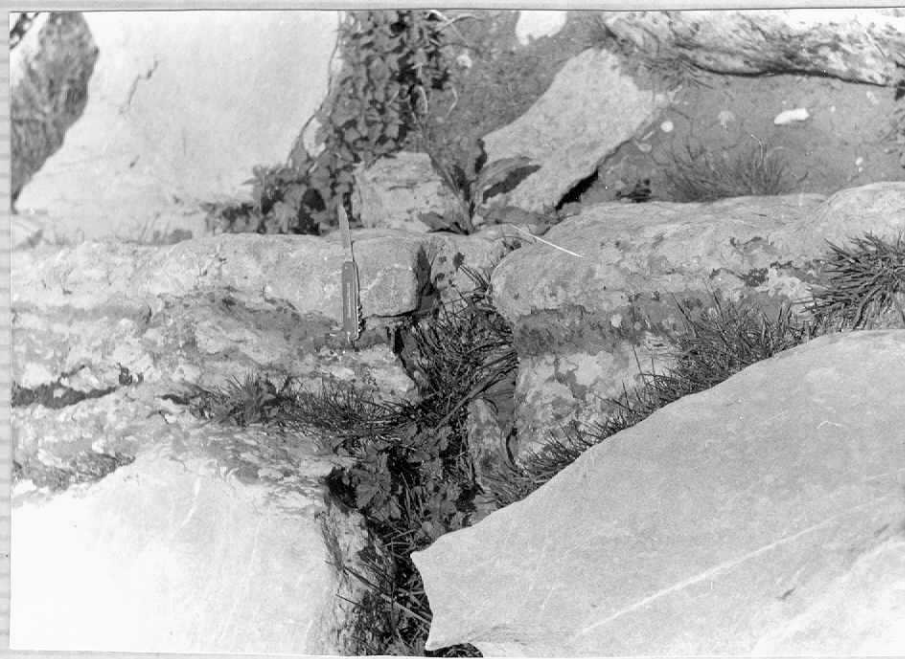
GA-371

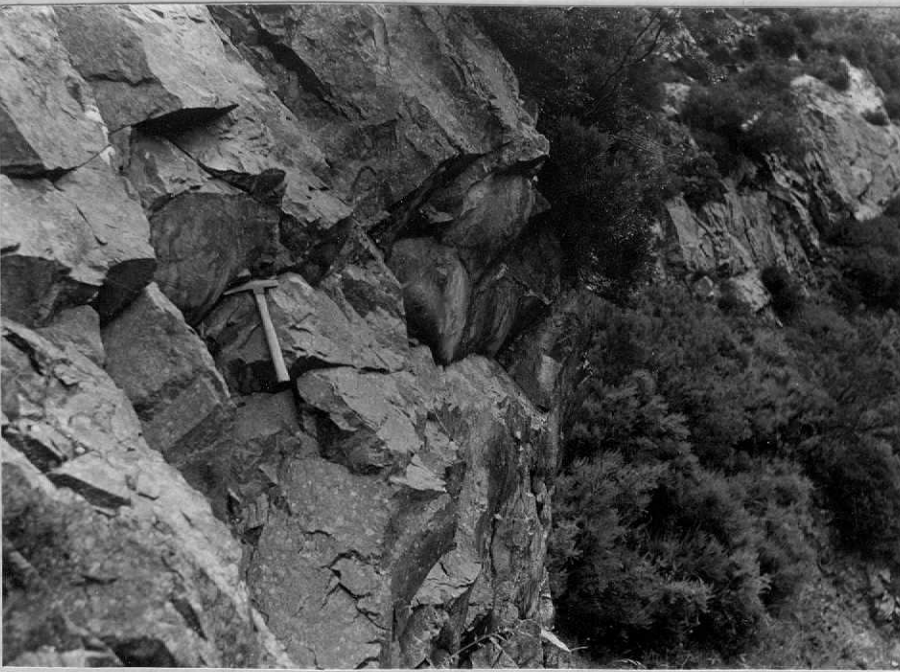
Estromatopóridos sili-
cificados en el miem-
bro masivo inferior de
la formación Santa Lu-
cia al N. de Endriga.



GA-372

Aspecto de los paquetes calcáreos encriníticos del Miembro Cebolledo donde se observan paleocanales en el camino de La Cueta a Torre de Babia.



A black and white photograph showing a large, irregularly shaped opening in a steep, layered rock face. The opening is filled with dark, dense vegetation. A geological hammer is placed vertically in the upper left corner of the opening to provide a sense of scale. The surrounding rock is light-colored and shows distinct horizontal sedimentary layers.

GA-373

Grandes paleocanales en
la Formación Barrios,
en el camino de Villa-
marcel a Fresnedo.

GA-374

Niveles de areniscas
y grandes nodulos en
la parte alta de la
Formación Formigoso
en el camino de Villa-
marcel a Fresnedo.





GA-375

Mud-cracks en el te-
cho de la Formación
Santa Lucía en el ca-
mino de Villamarcel a
Fresnedo.



GA-376

Carbonero de la Formación Lena en la carretera de Barzana de Quiros a Villamarcel.

GA-377

Explotaciones a cielo abierto de las capas de carbón del Estefaniense en el alto de Puerto Ventana.





GA-378

Detalle del conglomerado estefaniense en la carretera de Puerto Ventana cerca de Páramo.

GA-379

Circo glaciar de la ver-
tiente N. del Macizo de
Ubiña (a la izquierda
Peña Rueda y a la dere-
cha el Huerto del Diablo)
desde las proximidades
del Pico Ronderos.





GA-380

Morrena en la carretera a los Puertos de La Cubilla.